

地理试题

(考试时间：75分钟；满分：100分)

注意：请将试题的全部答案填写在答题卡上。

第I卷(选择题 共48分)

本大题共16小题，每小题3分，共48分。每小题只有一个答案最符合题意，多选、错选、漏选均不得分。

实施城市可持续交通是可持续发展的重要组成部分，其根本目的是减少对私家车的依赖，引导人们转向其他方式出行。自行车、步行等慢行方式在大城市通常更难实施，但在伦敦却已成为流行的出行方式。伦敦市中心规划的自行车道路网除了隔离的自行车高速公路，还包括为了鼓励对骑行不太有信心的人参与的非隔离的稳静道路(图1)。据此完成1~3题。

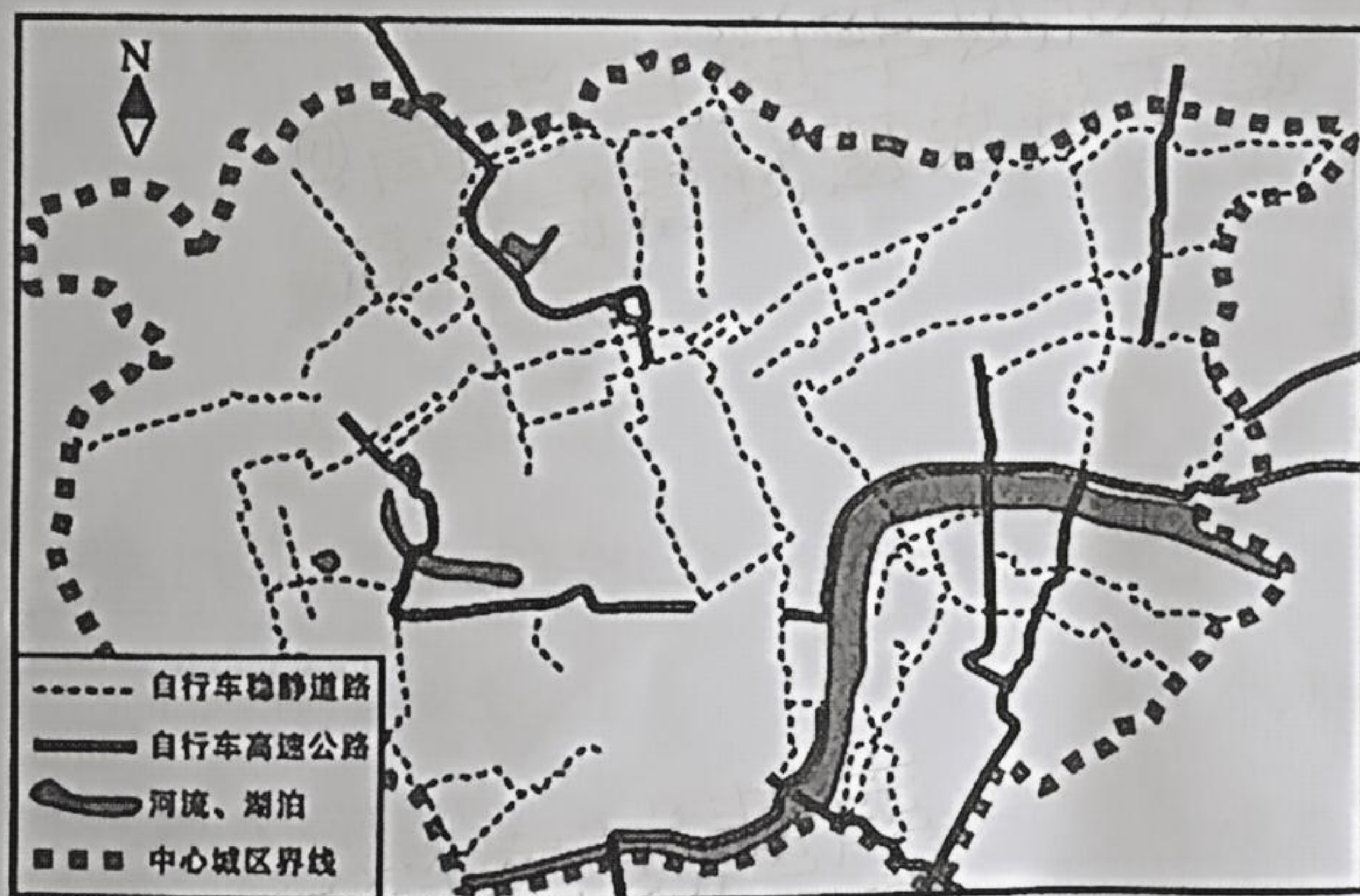


图1

1. 伦敦市中心规划的自行车道路网特点有

①自行车高速公路建设成本高

②自行车高速公路总里程更长

③自行车稳静道路交通流量大

④自行车稳静道路连通性更好

A. ①②

B. ②③

C. ③④

D. ①④

2. 慢行方式在大城市实施起来比在小城市更加困难，其主要原因是大城市
- A. 道路资源紧缺
B. 公共交通繁忙
C. 通勤距离较短
D. 环境污染严重

3. 城市可持续交通发展主要依靠

- ①政府的治理 ②公众的参与 ③先进的技术 ④雄厚的资金
- A. ①② B. ②③ C. ③④ D. ①④

“积极老龄化”是指老年时为了提高生活质量，使健康、参与和保障的机会尽可能获得最佳的过程。渝西东海沱村是临江依山而建的传统村落，房屋密集，其传统人居环境格局和文化空间保存相对完好，近年推行“积极老龄化”的公共空间适老化改造。图2示意东海沱村的适老公共空间分布。据此完成4~6题。



图2

4. 该村适老公共空间

- A. 类型单一 B. 山水要素不明显
C. 布局集中 D. 功能划分不明确

5. 该村适老公共空间存在的主要问题是

- ①次巷道坡度大 ②主街巷坡度大
③临江滩涂距离远 ④宅前院后空间小
- A. ①③ B. ①④ C. ②④ D. ②③

6. 在“积极老龄化”理念下，该村公共空间适老化改造措施合理的是

- A. 增加住宅与街巷之间的高差以提高可观赏性
B. 大量增加公共空间的用地面积以提高参与度
C. 采用碎石路面铺设巷道台阶以增强透水性
D. 营造宅前院后无障碍的环境以提高可达性

大气饱和水汽压差是指在一定温度下饱和水汽压与空气中实际水汽压的差值，反映了实际大气中水汽距离饱和的程度，即空气的干燥程度。大气饱和水汽压差变化与温度变化呈正相关，与相对湿度变化呈负相关。表1示意1961~2021年新疆某流域不同季节的气象要素的变化。据此完成第7~8题。

表1

季节	气温(℃/10年)	相对湿度(%/10年)	饱和水汽压(kpa/10年)	实际水汽压(kpa/10年)
年	0.217	0.201	0.018	0.011
春	0.257	-0.085	0.023	0.007
夏	0.169	0.382	0.029	0.022
秋	0.129	0.274	0.012	0.010
冬	0.309	0.122	0.009	0.006

7. 1961~2021年期间，该流域大气饱和水汽压差的变化导致

- A. 浅根植物繁盛
 B. 风沙活动增强
 C. 空气干燥程度增加 植被蒸腾量减少
 D. 土壤盐碱化减弱

8. 与秋季相比，夏季干旱化更明显，其主要原因可能是夏季

- A. 大气温度上升速率较快
 B. 平均气温较高
 C. 相对湿度上升速率较快
 D. 相对湿度较大

跨国企业F设在中国H省的工厂，主要从事高端手机的加工、组装，其零部件来自全球，产品大量销往世界各地。2020年以后，F企业陆续将工厂迁往印度。2024年，F企业将部分产能重新迁回H省，但利润率下降仍然是其在中国发展的主要挑战。据此完成9~11题。

9. F企业将工厂迁往印度的主要原因是印度

- A. 人口结构更年轻
 B. 高端手机市场更广阔
 C. 基础设施更完善
 D. 零部件供应链更完整

10. F企业将工厂迁出对H省的主要影响是

- A. 工业化进程加快
 B. 环境污染明显减少
 C. 劳动力数量增加
 D. 服务业就业岗位减少

11. F企业的中国工厂未来主要发展方向是

- A. 提高自动化水平
- B. 降低员工工资
- C. 生产以设计为主
- D. 扩大生产规模

汀江流域的水土流失及生态治理是我国南方红壤区的典型代表。某研究团队2010年在该流域上游设置了海拔、坡度、坡向和土质基本相同的4块水土保持试验样地，各样地的植被恢复措施不同（表2）。土壤崩解系数是指土壤抵抗径流分散的能力，土壤崩解系数越大，土壤越容易发生分散和侵蚀。图3为2022年各样地土壤崩解系数与土壤含水率示意图。据此完成第12~14题。

表2

样地	植被恢复措施
1	自然撂荒
2	封禁管理
3	全坡面播草
4	乔灌草条沟模式

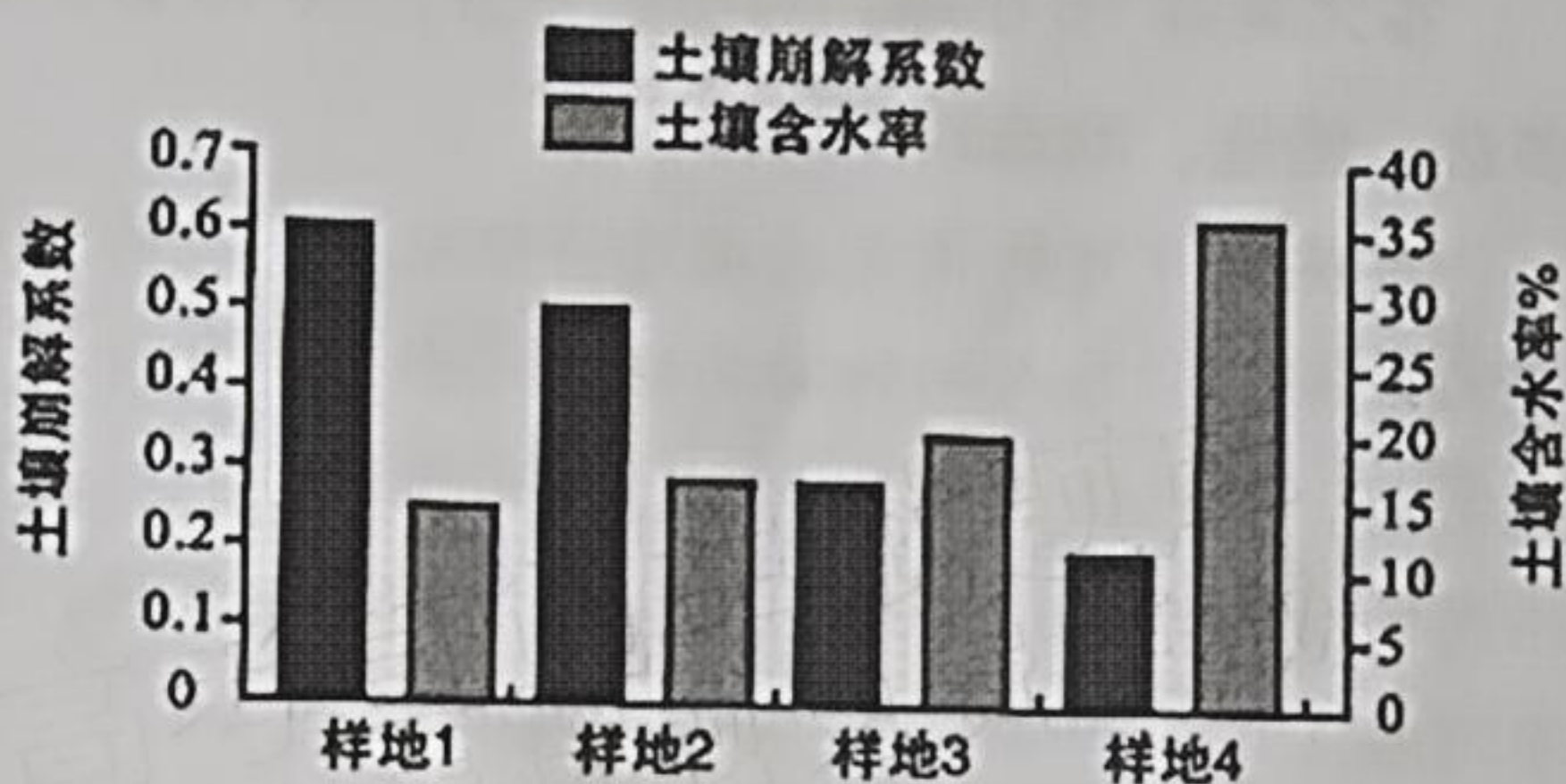


图3

12. 各样地土壤含水率差异的主要影响因素是

- A. 土壤类型
- B. 土壤厚度
- C. 植被类型
- D. 植被状况

13. 土壤崩解系数与土壤含水率具有较强的相关性，是因为土壤水分增加导致

- A. 土壤空隙减小
- B. 土壤温度升高
- C. 土壤颗粒变小
- D. 土壤蒸发增强

14. 与其它样地相比，样地4的土壤养分提升效果最明显，其主要原因是样地4

- ①地表径流量较大
- ②土壤淋溶作用较强
- ③植被凋落物较多
- ④土壤保水能力较强

- A. ①②
- B. ②③
- C. ①④
- D. ③④

位于意大利米兰的某古建筑 ($45.5^{\circ} \text{N}, 9.2^{\circ} \text{E}$), 从正门进入其主厅后, 可观察到右侧拱顶设置有一个小圆孔。每日正午太阳光束穿过圆孔, 刚好照到地板上镶嵌的一条铜线上, 当地人曾以此来校准机械钟表。紧挨着铜线两侧镶嵌着十二星座瓷砖, 阳光沿铜线移到每个星座瓷砖的日期与该星座开始的日期基本一致 (例如 7 月 23 日左右正午阳光正好移到图 4 中的 A 点附近)。图 4 示意该建筑剖面以及地面部分铜线和星座瓷砖, 表 3 为部分星座时间表。据此完成第 15~16 题。

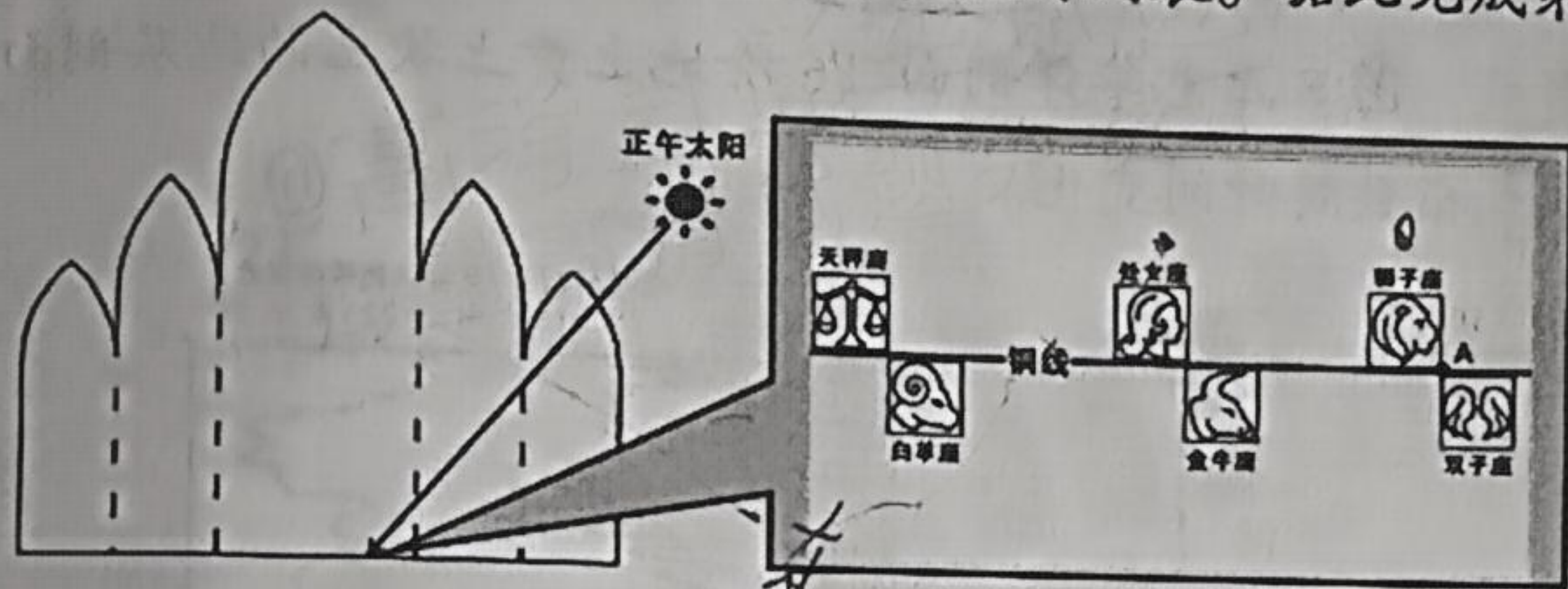


图 4

表 3

巨蟹座	6.22 ~ 7.22
狮子座	7.23 ~ 8.22
处女座	8.23 ~ 9.22
天秤座	9.23 ~ 10.23

15. 据材料可知

- A. 铜线沿东西方向延伸
 C. 铜线沿南北方向延伸

- B. 透光圆孔所在的拱顶在该建筑东侧
 D. 透光圆孔所在的拱顶在该建筑北侧

16. 某段时期, 穿过洞口的正午阳光会沿着铜线从狮子座瓷砖移到处女座瓷砖, 当正午阳光下次再经过这段铜线期间

- A. 当地昼夜长短差值变小
 C. 当地日落方位逐渐偏南

- B. 当地正午太阳高度逐渐变小
 D. 铜线上的正午阳光逐日南移

第Ⅱ卷（非选择题 共52分）

17

二、综合题

17. 阅读图文材料，完成下列要求。（10分）

龙岩市某学校地理兴趣小组于夏季某日晴朗的中午，开展“大气受热过程和温室效应”模拟实验。实验目的：验证二氧化碳具有较强的温室效应。初始实验装置如图5所示（甲、乙装置除箱内气体不同外，其余均相同）。

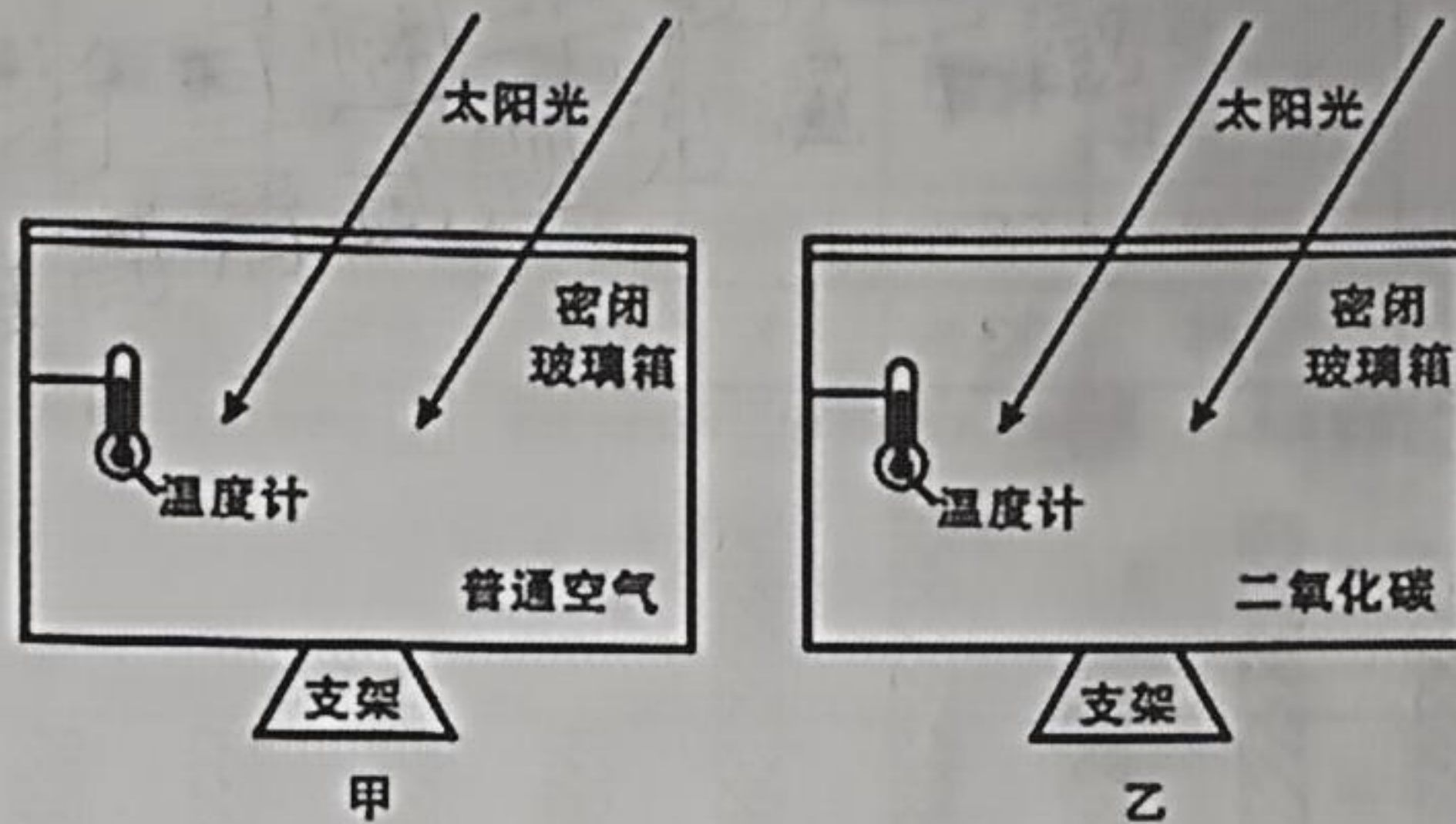


图5

太阳辐射

将实验装置放置于太阳光下较长时间后，发现两个箱内的温度差异不大。兴趣小组往乙箱中加入适量沙土后，继续放置于太阳光下相同时间，两个温度计的读数出现明显差异。但是，教师认为这个结果尚无法验证实验目的，需改进甲装置，再重复前面的实验操作，比较所获数据可验证实验目的。

(1) 请运用大气受热过程的原理，解释乙箱内加入沙土后，两箱内气温出现明显差异的原因。（5分）

大气受热过程

(2) 推测实验结果无法验证实验目的的依据，并指出改进甲装置的方法。（5分）

18. 阅读图文材料，完成下列要求。(24分)

耕地利用兼具碳源与碳汇双重效应，农业生产过程中排放碳、作物生长过程中吸收碳。2011~2021年，贵州省绿色农业逐渐发展，农业经济水平（指单位农业从业人口的农业生产总值）逐年提高，耕地利用碳排放也在此期间达到峰值。表4示意2011~2021年贵州省与吉林省耕地利用碳排放来源情况，图6示意2011~2021年贵州省耕地利用各影响因素碳排放的年增长量变化。

表4

省份	碳源占比	化肥	农用薄膜	农药	农用柴油	灌溉	翻耕
贵州		68%	19%	5%	5%	2%	1%
吉林		53%	4%	3%	5%	8%	27%

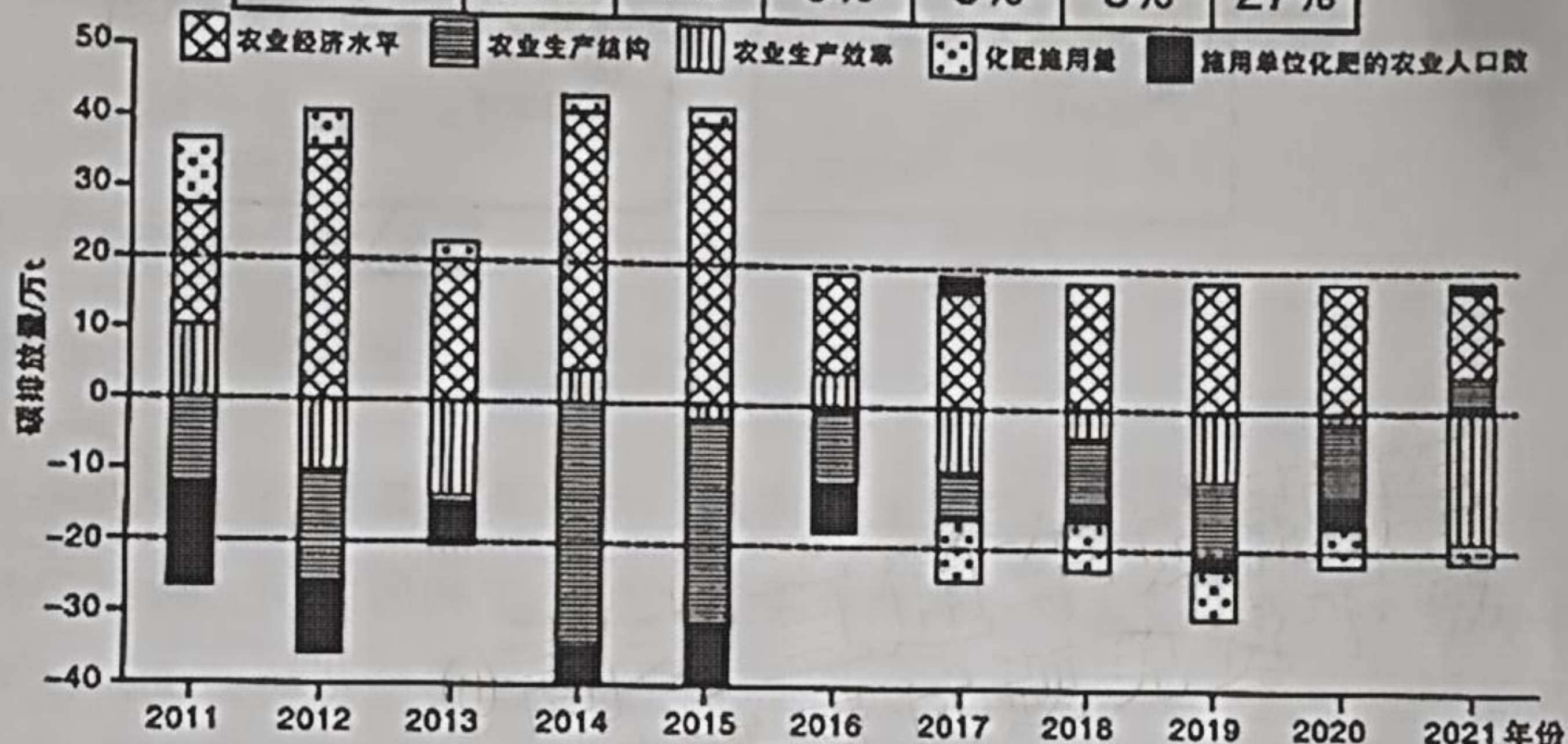


图6

- (1) 从耕地资源禀赋的角度，说明与吉林省相比，贵州省来源于翻耕的碳排放量占比较低的原因。(6分)
- (2) 指出耕地利用碳排放量与农业经济水平的相关性，并分析原因。(4分)
- (3) 判断贵州省耕地利用碳排放达到峰值的年份，并说明理由。(6分)
- (4) 简述贵州省在保障粮食安全的前提下，减少耕地利用碳排放的主要措施。(8分)

19. 阅读图文材料，完成下列要求。(18分)

青藏高原东南缘的金沙江下游段是深切峡谷，相对高差达2~3km，河谷中滑坡频繁，大型滑坡常堵塞河谷形成堰塞湖。其中华弹河段，河流阶地发育，阶地上黄土状土（由干旱—半干旱环境下的粉砂堆积形成）分布普遍，其形成主要与当地山谷风环流有关。同一级阶地上黄土状土粒径大小和化学风化强度的垂直变化对气候冷暖干湿具有重要的指示作用。图7示意华弹河段的位置及华弹剖面，其中的T2阶地在540千年前就已形成。图8示意华弹剖面T6阶地上黄土状土的地层剖面及其平均粒径、化学风化强度指数随时间变化。

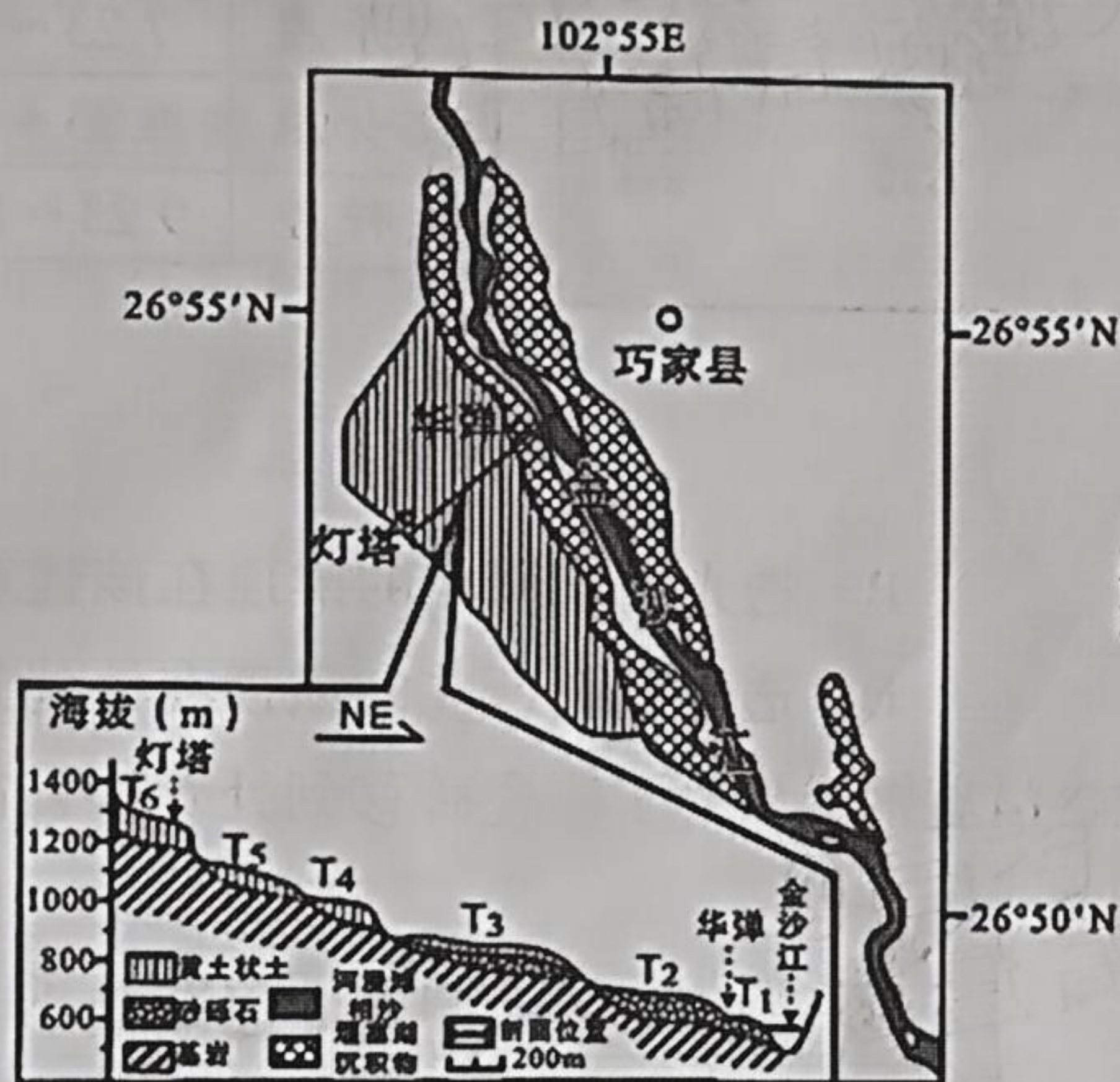


图7

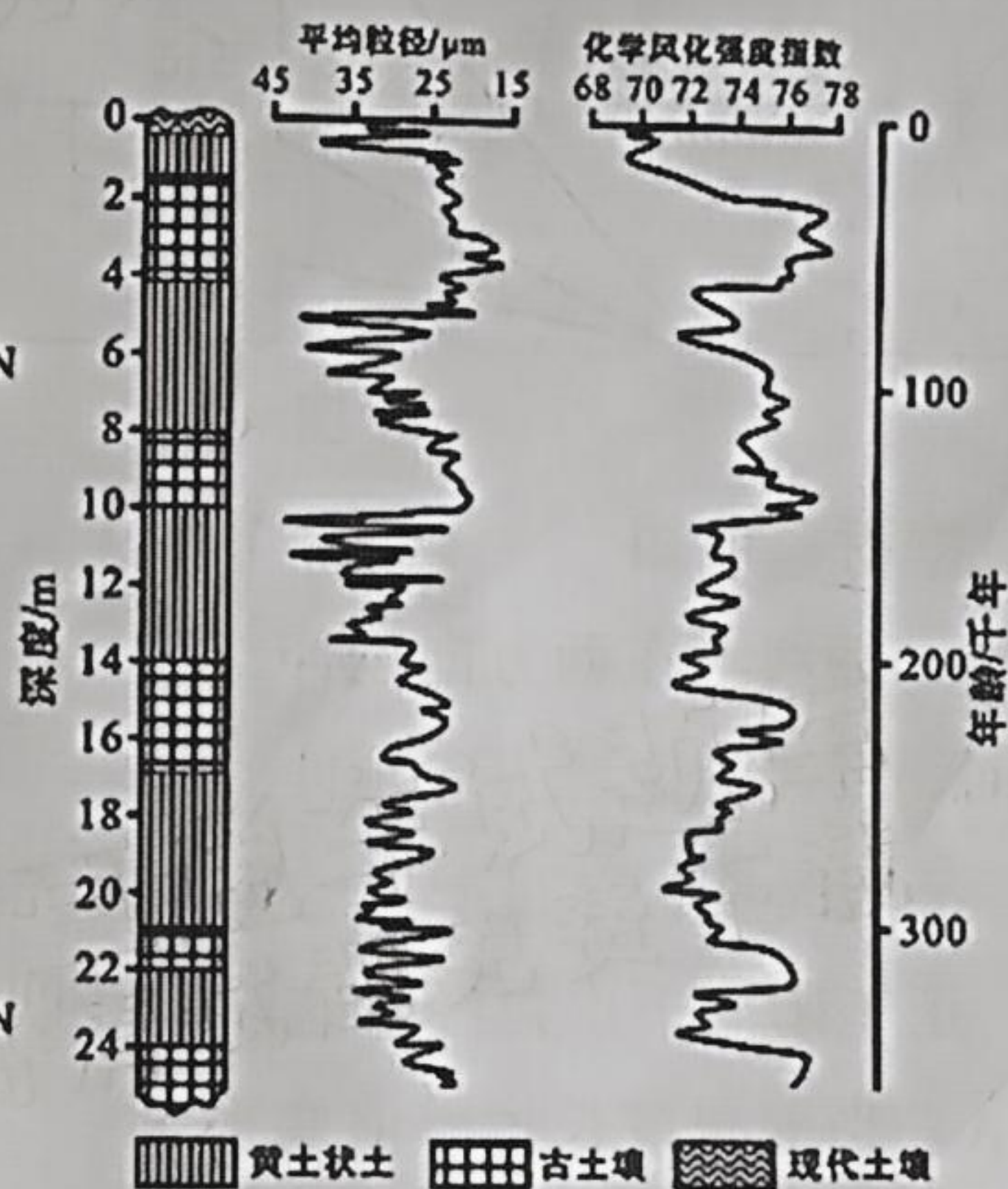


图8

(1) 指出华弹河段阶地上黄土状土的主要物质来源。(4分)

(2) 说明华弹河段阶地上黄土状土的形成过程。(8分)

(3) 推测距今210~140千年期间该地的气候特点。(6分)

龙岩市 2025 年高中毕业班三月教学质量检测

地理试题参考答案及评分细则

一、选择题：共 16 小题，每小题 3 分，满分 48 分。

题号	1	2	3	4	5	6	7	8	9	10	11	12	13	14	15	16
答案	D	A	A	D	B	D	C	A	A	D	A	D	A	D	C	D

二、非选择题：共 3 题，共 52 分。

17. (10 分)

(1) (5 分)

进入甲箱内的太阳短波辐射很少被箱内气体和玻璃吸收 (1 分)，甲箱内气体升温不明显 (1 分)；乙箱内加入的沙土可大量吸收进入箱内的太阳 (短波) 辐射 (1 分)，并释放长波辐射 (1 分)，乙箱内气体吸收长波辐射明显升温 (1 分)。

(2) (5 分)

依据：甲箱内无沙土，乙箱内有沙土 (1 分)，沙土也可加快箱内气温上升 (1 分)，无法确定乙箱气温较高是因为加入了二氧化碳 (1 分)。

改进方法：往甲箱内加入等量 (1 分) 沙土 (1 分)

18. (24 分)

(1) (6 分)

源于翻耕的碳排放主要由农业机械产生 (1 分)，贵州省喀斯特地貌广布 (1 分)，坡耕地占比较大 (1 分)，耕地较破碎 (1 分)，石漠化严重 (土层浅薄) (1 分)，大型农业机械设备使用较少 (1 分)。

(2) (4 分)

正相关 (1 分)

贵州省耕地资源稀缺 (1 分)，农业经济水平的提高主要依靠加大农业生产资料 (如化肥、薄膜、农药等) 的投入 (1 分)，导致生产过程中的碳排放增加 (1 分)。

(3) (6 分)

2016 年 (2 分)

理由：2016 年及以前年份，各驱动因素碳排放的年增长量之和均为正值（1 分），说明耕地利用碳排放逐年增加（1 分）；2016 年以后，各驱动因素碳排放的年增长量之和均为负值（1 分），说明耕地利用碳排放逐年减少（1 分）。

(4) (8 分)

提高化肥、薄膜、农药的利用效率，减少使用量（2 分）；秸秆还田，增加土壤养分来源（2 分）；防治土地退化，提高土壤肥力（2 分）；提高农业机械的生产效率（改进农业机械，降低能耗）（2 分）；改进耕作方式，减少翻耕（2 分）；因地制宜调整农业生产结构（2 分）；建设高标准农田，不断提升耕地质量（2 分）；提高农业科技水平，发展绿色（有机、生态）农业（2 分）。（任答其中 4 点得 8 分）

19. (18 分)

(1) (4 分)

来源于相邻（近）河谷中的堰塞湖沉积物（2 分）、河漫滩（河流）沉积物（2 分）。

(2) (8 分)

堰塞湖坝体溃决，堰塞湖消失（1 分），河流重新下切（1 分），大量的河湖相粉砂层出露（1 分）；（白天）在谷风的作用下（1 分），粉砂从谷底向谷坡搬运（1 分），（受重力等作用，搬运能力减弱，）并在阶地堆积（1 分）；日积月累，在相对平缓的阶地上堆积了较厚的粉砂层（1 分），在（干热河谷）干旱、半干旱的环境下，逐渐形成黄土状土（1 分）。

(3) (6 分)

该时期地层剖面沉积物平均粒径偏大（1 分），化学风化强度指数偏低（1 分），土层堆积物为黄土状土（黄土状土层）（1 分），没有明显的风化成壤作用（1 分），表明此期间气候偏冷（1 分）、偏干（1 分）。

选择题解析

1. D

题干有说明自行车高速公路是隔离式的，建设成本高，①对；自行车高速公路总里程短于稳静式路，②错；自行车稳静道路多延伸到城市中心外围，且题干“很多是为了引导对骑行不太有信心的人参与而建设的”表明交通流量小，③错；自行车稳静道路没有隔离而且线路网密集，连通性更好④对，所以选 D

2. A

大城市人口与建筑密集，道路资源紧缺，A 对；公共交通繁忙不影响慢行方式，B 错；大城市规模大，通勤距离比小城市更远 C 错；环境污染严重与推行慢行方式的结果不是原因，D 错。

3. A

城市可持续交通发展是指以自行车出行为主的方式，需要政府的对交通网络进行规律管理，综合治理才能让自行车计划落地实施，而公众的积极参与才能推行，所以选 A。

4. D

从图中可以看出①-10 都是适老空间，所以适老空间形式多样，A 错

林地菜地古树下沿江滩涂都是适合乡村老年人生活生产的场所，山水要素突出，B 错图中显示各除了老年活动中心，其他适老空间都规模小而且零星分散分布，C 错；乡村适老空间不像城市，有专门的娱乐休闲与生产活动场所，功能分区明确，图中的菜地林地码头等都既是乡村老年人休闲生活也是生产活动的场所，所以功能功能划分不明确，D 对。

5. B

从图中可看出，主街巷道基本沿江沿等高线分布，所以坡度小，②错，临江滩涂距离是指从村子各院宅到临江滩涂的距离，利用比例尺可估算基本在 100 米以内，不远，③错；题干说明村落临江依山而建，许多次巷道与江岸垂直，比例尺与等高线估算出村落高差可 70 米左右，地势陡峻，①对，题干说明村落临江依山而建、房屋密集，所以宅前院后空间小，④对，选 B。

6. D

“积极老龄化”理念是促进老年人的健康、参与和安全保障，增加住宅与街巷之间的高差以提高可观赏性不利于老年人出行安全 A 错，东海沱村是临江依山而建的传统村落，房屋密集，无法大量增加公共空间的用地面积以提高参与度，B 错；采用碎石路面铺设巷道台阶以增强透水性不属于“积极老龄化”理念的范畴，C 错；村落内地势陡峭，宅前院后多陡砍台阶，不利于老年人的安全，所以要营造无障碍的环境如栏杆扶手以提高可达性，D 对

7. C

由表 1 数据计算可得, 1961~2021 年期间, 该流域大气饱和水汽压差增大, 即气候更干旱, 会加剧风沙活动, C 正确。气候更干旱, 不利于浅根植物生长、繁殖, A 错; 植被蒸腾量可能增加, B 错; 土壤盐碱化可能加剧, D 错。

8. A

夏季干旱化更明显, 即夏季大气饱和水汽压差上升更明显, 相同时段内夏季大气饱和水汽压差上升速率 (0.007) 比秋季 (0.002) 快。根据表 1 可得, 夏季大气温度上升速率较快、相对湿度上升速率较快, 但是依据“大气饱和水汽压差变化与温度变化呈正相关, 与相对湿度变化呈负相关”分析, 如果夏、秋气温变化相同, 夏季相对湿度上升速率较快会导致大气饱和水汽压差下降速率更快, 气候湿润化更明显、干旱化更不明显, 与实际情况不符, 故 C 错, A 正确。影响大气饱和水汽压差变化的主要因素是气温和相对湿度的变化, 而不是二者本身的大小, 可排除 B、D。

9. A

与中国相比, 印度经济发展水平较低。B、C、D 选项与中、印两国的国情不符。F 企业主要从事加工、组装, 是劳动力密集型企业, 随着我国青壮年劳动力的减少、经济发展, 劳动力工资水平逐渐提高, F 企业的劳动力成本升高, 这是其在这中国面临的主要挑战, 也是其迁出 H 省的主要原因。印度过去一段时间的出生率较高, 人口结构更年轻, 青壮年劳动力更多, 且工资水平更低, 劳动力成本更低, 故正确答案为 A。

10. D

F 企业迁出可能使 H 省经济总量减小, 不会加快工业化进程, A 错。F 企业主要从事加工、组装, 环境污染小, 其迁出对环境的影响不大, B 错。劳动力数量受人口数量与年龄结构影响, 其变化与 F 企业关系不大, C 错。由“产品大量销往世界各地”可知, F 企业规模大、员工多, 与其相关的服务业多, 其迁出会导致这些服务业就业岗位减少, 故正确答案为 D。

11. A

由“利润率下降仍然是其在中国发展的主要挑战”可知, F 企业的中国工厂未来主要发展方向为降成本、增收入, 从而提高利润率。F 企业的利润率下降的原因之一是劳动力工资水平上升, 提高自动化水平可减少劳动力使用量, 降低成本, A 正确。降低员工工资可能招不到所需劳动力, B 错; F 企业主要从事加工、组装, 转变为以设计为主比较困难, 可行性不大, C 错。扩大生产规模不会提高利润率, D 错;

12. D

由题干材料信息可知各样地土质和土壤类型基本相同, A 错; 土壤厚度未提供信息, 且对表土含水率影响不大, 故 B 错; 土壤含水率的差异主要是因为四样地采取了不一样的植被恢复措施, 所以四个样地的植被状况 (包括植被的类型、覆盖率、垂直结构以及植被的种类) 不同, 导致土壤含水率差异, D 正确。C 选项植被类型只是植被状况的一个方面, 相对而言, D 选项更为全面, 对土壤含水量的影响也更为主要。

13. A

读图 3 可知土壤崩解系数与土壤含水率呈负相关。是因为土壤水分是粘性较强的红壤细粒间的胶结剂之一,一定含量的土壤水分能够为土壤颗粒提供吸力,使得土壤颗粒之间的空隙变小,减小土壤崩解的可能性,故 A 正确;土壤水分增加往往会使得土壤温度下降,且土壤温度并非影响土壤发生分散和侵蚀的主要因素,故 B 错;土壤颗粒变小,主要是因为成土过程中的化学和生物风化和侵蚀强度大造成的,而成型的土壤中水分的增加并不影响土壤的颗粒大小,故 C 错;土壤蒸发增强,主要是因为接受的太阳辐射强,土壤温度高造成的,而不是土壤水分增加导致的,且土壤蒸发的强弱与土壤崩解系数之间没有明显的相关性,故 D 错。

14. D

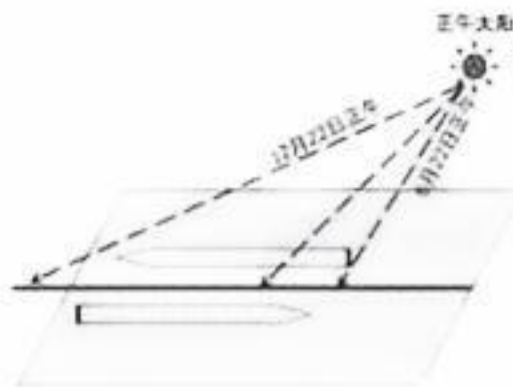
土壤养分提升,主要从养分的收入和支出两方面来分析,收入主要来源于植被凋落物的补给,支出主要是水土流失带走的,样地 4 乔灌草结合,植被凋落物较多,有机质补给多;样地 4 更好的植被状况能改善土壤的保水性能,并且与条沟模式共同作用,增加下渗,土壤保水能力增强,坡面径流对表土的冲刷和养分的流失减少,故 D.③④正确;土壤淋溶作用较强,不利于样地 4 的土壤养分提升;因水土流失较严重,下渗而成的地下径流较少,地表产流量较大,也不利于土壤养分的提升,故①②均错,A、B、C 项均错。

15. C

据材料可知,该建筑所在地理纬度 45.5°N ,故正午太阳方位在其正南方。每日正午,穿过拱顶小圆孔的太阳光束都能刚好照到铜线上,说明将每日正午太阳照射到的铜线上的点与拱顶小圆孔连线并延长,即为该地正午太阳方位,故透光圆孔所在的拱顶在该建筑南部,所以 BD 错误。且说明了铜线所在位置即该地经线所在位置,铜线延伸方向与经线延伸方向一致,为南北方向。故选 C。

16. D

由于“阳光移到每个星座瓷砖的日期与该星座开始的日期基本一致”,据表 3 可知,“穿过洞口的正午阳光沿着铜线从狮子座瓷砖移到处女座瓷砖”的“某段时期”大致为 7 月 23 日~8 月 22 日。由于当地正午太阳高度角在夏至日达到最大,即 6 月 22 日左右,正午阳光照射到铜线上的点在最南端的星座瓷砖处,之后每日正午阳光照射到的点位沿着铜线往北移,到冬至日 12 月 22 日前后,当地正午太阳高度角达到一年当中最小的时候,正午阳光照到铜线上的位置在最北端的星座瓷砖处,之后开始逐日南移。根据太阳直射点在南北回归线之间的周年回归运动规律及其隐含的对称关系可推出,“正午阳光下次再经过这段铜线”的这段时期大致为“4 月 20 日至 5 月 20 日”(由图中的金牛座移动到双子座瓷砖位置),即铜线上被正午阳光照射到的点位逐日南移。D 正确。该段时期太阳直射点在北半球,且向北移动,离赤道距离越来越远,结合当地地理纬度 45.5°N ,可得出当地昼长夜短,且昼长和夜长之间的差值在逐渐变大。A 错误。且该段时期当地与直射点所



在纬度距离越来越小，故当地正午太阳高度逐渐变大。B 错误。全球各地（除极昼极夜范围外）日出东偏北，日落西偏北，由于该段时期直射点继续往北移动，故日出和日落方位皆逐渐偏北，故 C 错误。